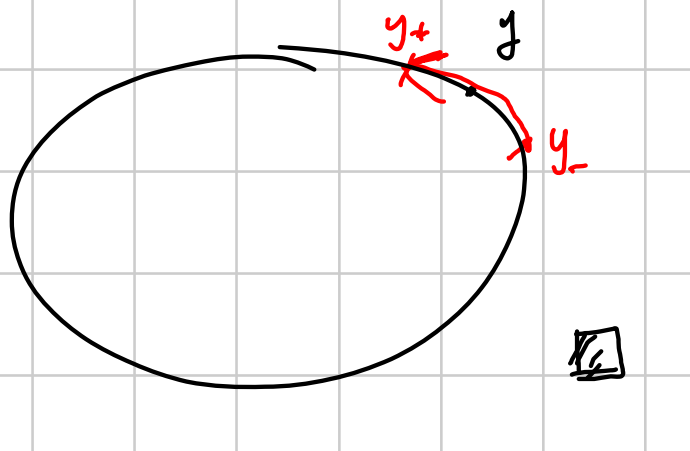
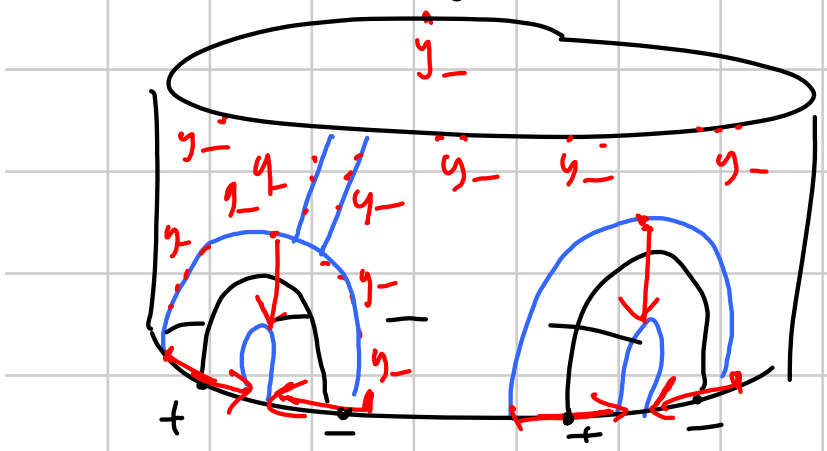


ETA 28/10/14

Tep: $\{1: S^1 \times \mathbb{H}\}_{\sim} \xleftarrow{\deg} \mathbb{Z}$

Resta: $\deg(f) = 0 \Rightarrow f \cong \text{cost.}$



Dimostrazione via grado di

1) Teo fond. algebra

$p(z) \in \mathbb{C}[z]$ non costante; basta vedere che
conce un'apre $\mathbb{C} \rightarrow \mathbb{C}$ s' suppone -

$\mathbb{C} \subset \mathbb{P}^1(\mathbb{C}) = S^2$ - Inoltre $p(z)$ definisce
 $\mathbb{P}^1(\mathbb{C}) \rightarrow \mathbb{P}^n(\mathbb{C})$ ponendo $f(\infty) = \infty$ -

Analizzo p vicino a $\infty \mapsto \infty$ cioè -

$$z \mapsto \frac{1}{p(1/z)} \quad \text{vicino a } 0$$

wlog $p(z)$ unico :

$$z \mapsto \frac{1}{\left(\frac{1}{z}\right)^d + q_1 \left(\frac{1}{z}\right)^{d-1} + \cdots + q_d} = \frac{z^d}{1 + q_1 z + \cdots + q_d z^d}$$

$$= \left(\frac{z}{r(z)} \right)^d \quad r(0) = 1$$

$\Rightarrow \frac{z}{r(z)} =: u$ è un cambio di variabile

\rightarrow quindi nelle carte ho $u \mapsto u^d$

le quale ha grado $d \Rightarrow$ deg: $f: \mathbb{P}^1(\mathbb{C}) \hookrightarrow \mathbb{P}^1(\mathbb{C})$

$\overline{\iota}^d \Rightarrow \overline{\iota}$ singolare

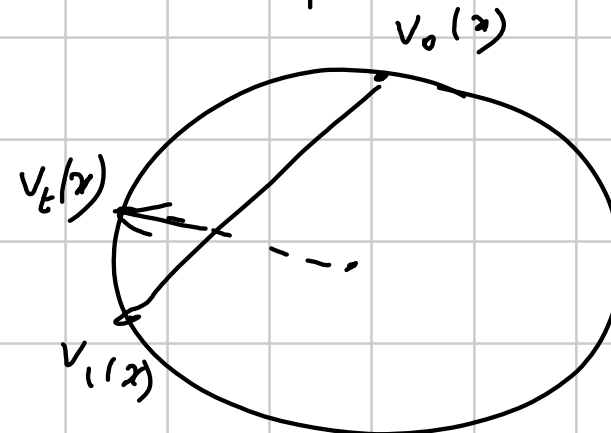


Teo (hairy ball): se $n \geq 2$ pari non esistono campi di rettori tangentи mai nulli a S^n in \mathbb{R}^{n+1}

Dih: 1) $v_0, v_1 : X \rightarrow S^m$ mai antipodali

$$\Rightarrow v_0 \cong v_1.$$

$$F(t, x) = \frac{(1-t)v_0(x) + t \cdot v_1(x)}{\parallel \quad \parallel}$$

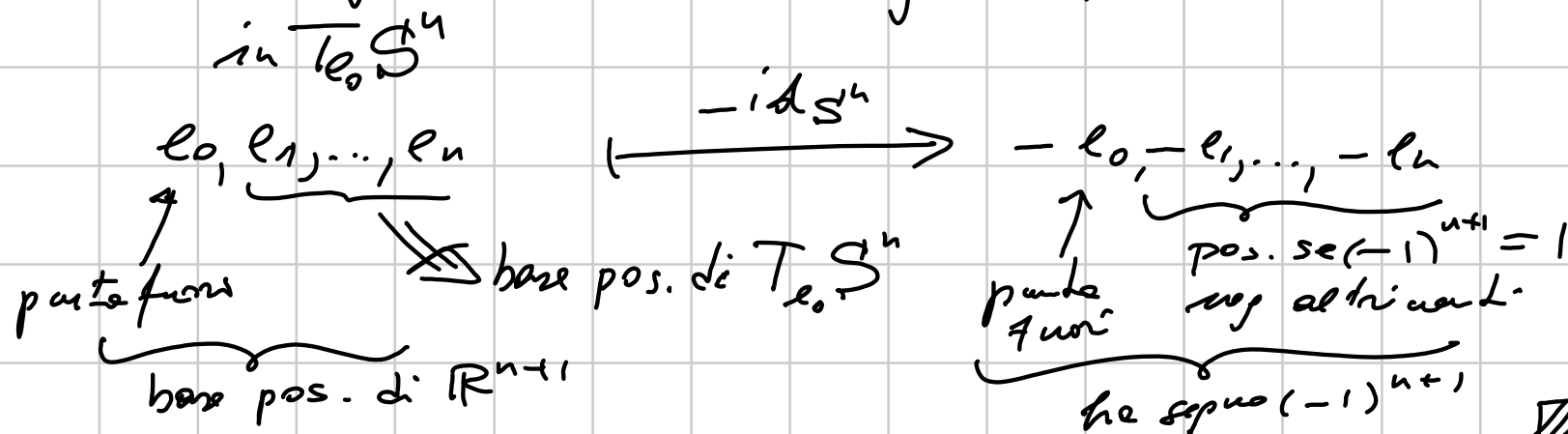


2) Se S^n è privato da v ho che $\frac{v}{\|v\|} \cdot S^n \subseteq$

Così $\frac{v}{\|v\|} \perp v$ ovunque \Rightarrow non c'è mai x nello spazio

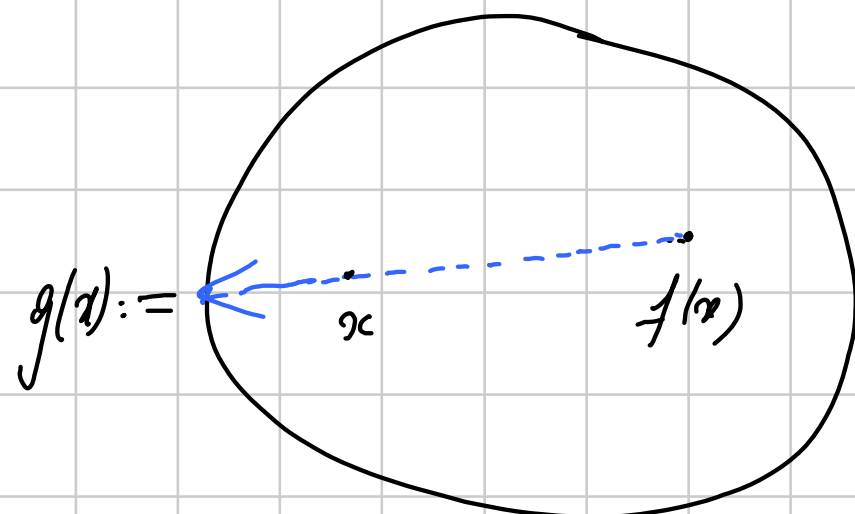
$$\Rightarrow id_{S^n} \simeq -id_{S^n}.$$

Quindi $\deg(id_{S^n}) = 1$, $\deg(-id_{S^n}) = (-1)^{n+1}$;

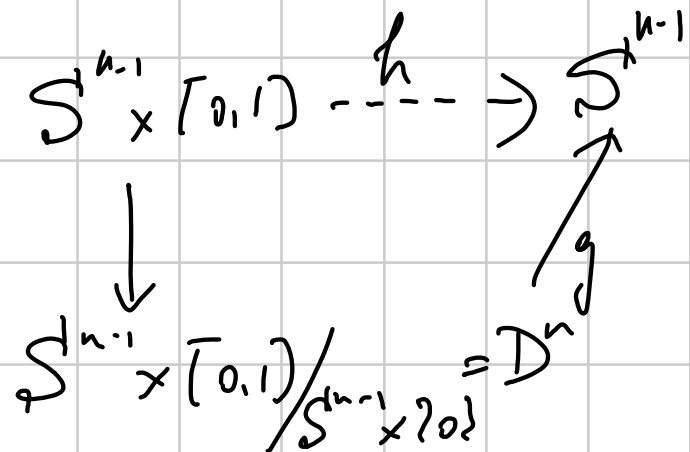


Teo (Brouwer): $f: D^n \rightarrow D^n$ continua ha punti fissi -

Se no:



$f: D^n \rightarrow S^{n-1}$ continua
 $g|_{S^{n-1}} = id_{S^{n-1}}$



h omotopie tra $i|_{S^{n-1}}$ e una costante

$\text{deg} = 1$

$\text{deg} = 0$ -



Immersioni $\alpha: S^1 \rightarrow \mathbb{R}^2$ (C^∞ con α' mai nullo)

modulo omeotopie regolari (omeotopie trasviate iniziali;

$\alpha_0 \simeq_{reg} \alpha_1$ se esiste $A: S^1 \times [0,1] \rightarrow \mathbb{R}^2$

t.c. $A(\cdot, j) = \alpha_j \quad j=0..1$

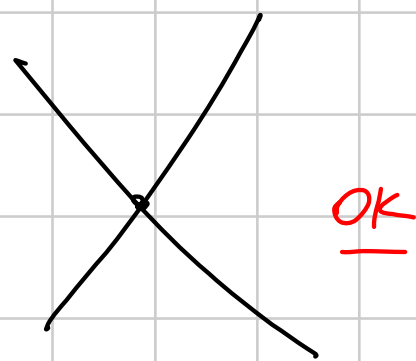
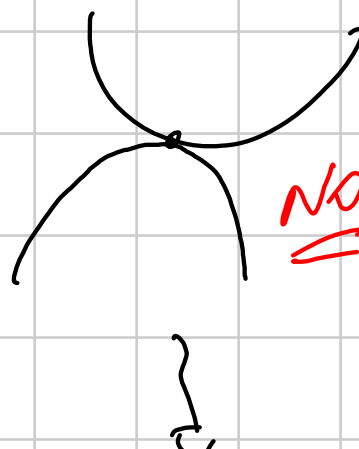
$A(\cdot, t)$ immersione $\forall t$

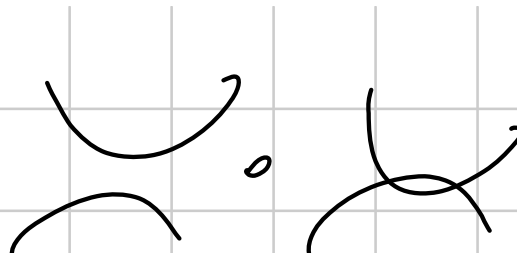
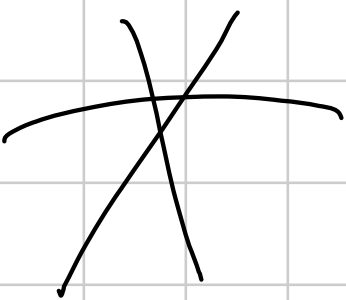
Def: w with $w(\alpha) = \text{deg}\left(\frac{\alpha'}{\|\alpha'\|}: S^1 \rightarrow S^1\right)$

(ben def. a meno di \simeq_{reg})

Teo: immersioni $S^1 \hookrightarrow \mathbb{R}^2 \xrightarrow{\simeq_{\text{reg}}} \chi$

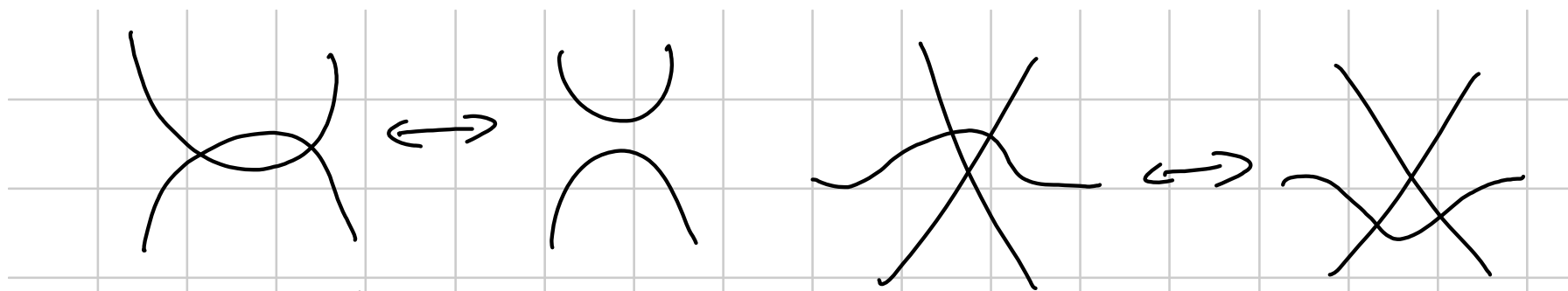
Dim: immagine di una $\alpha: S^1 \hookrightarrow \mathbb{R}^2$ generica
che solo punti doppi che sono incavi





di una generica

Immagine orientata determina almeno di \cong_{reg} ; ogni inversione è \cong_{reg} e una generica -
Inoltre le segmenti mosse sulle immagini sono generate da \cong_{reg} !



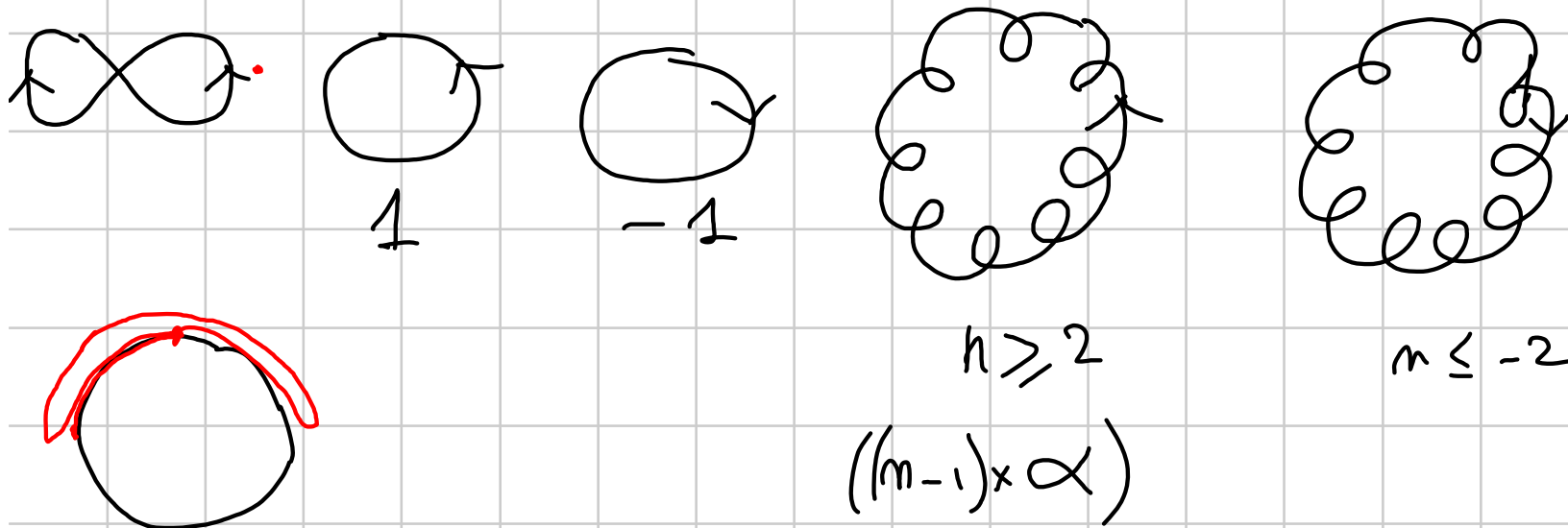
(analoghe a Reidemeister II / III :

analogo della I :



non è generato da \cong_{reg}) -

I. Tutti gli $m \in \mathbb{Z}$ sono $w(\alpha)$ per qualche α :

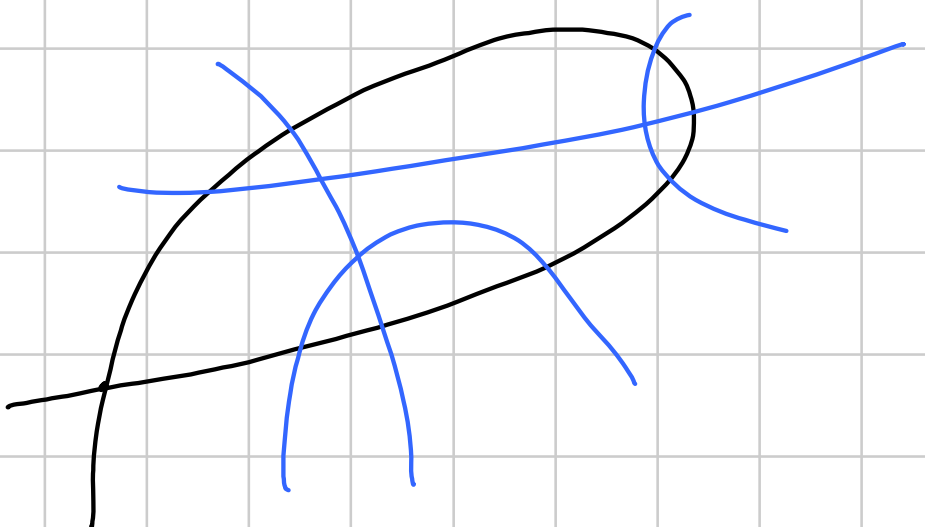


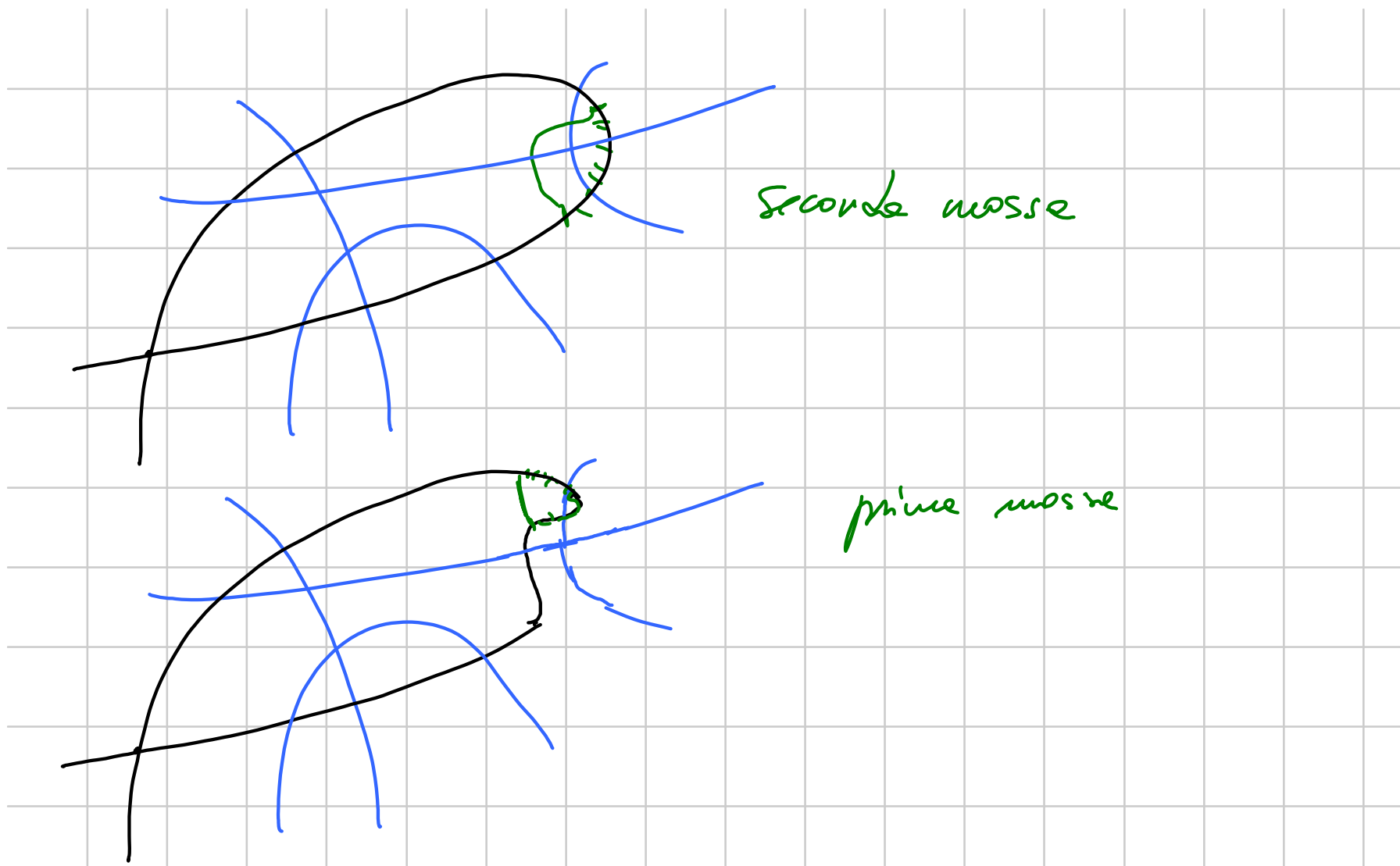
II. Provo che tranne \sim_{rep} posso ricordarmi
a uno di questi modelli.

II.a Sia $[t_0, t_1] \subset S^1$ t.c. $\alpha(t_0) = \alpha(t_1)$

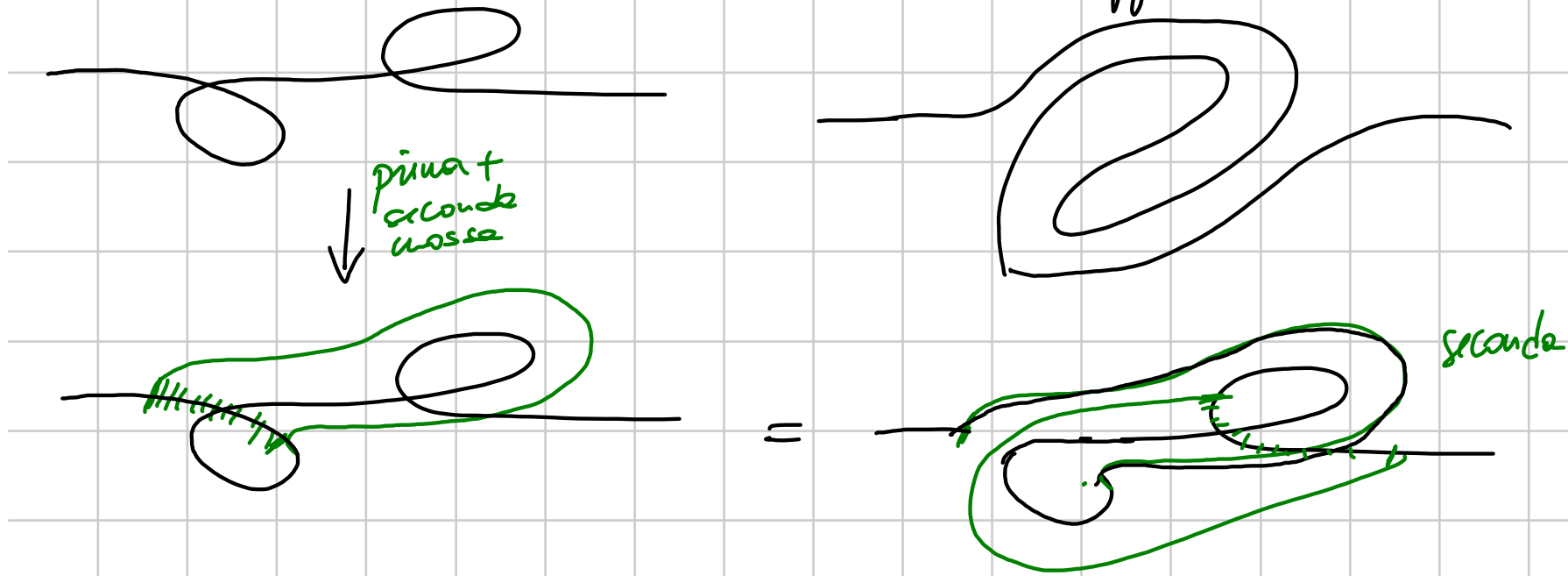
ma $\alpha|_{[t_0, t_1]}$ è semplice; allora rispetta

posso supporre che $\alpha|_{[t_0, t_1]}$ non contiene
altri punti doppio:





II.b CanceLLo riccioli de lat' oppost.:



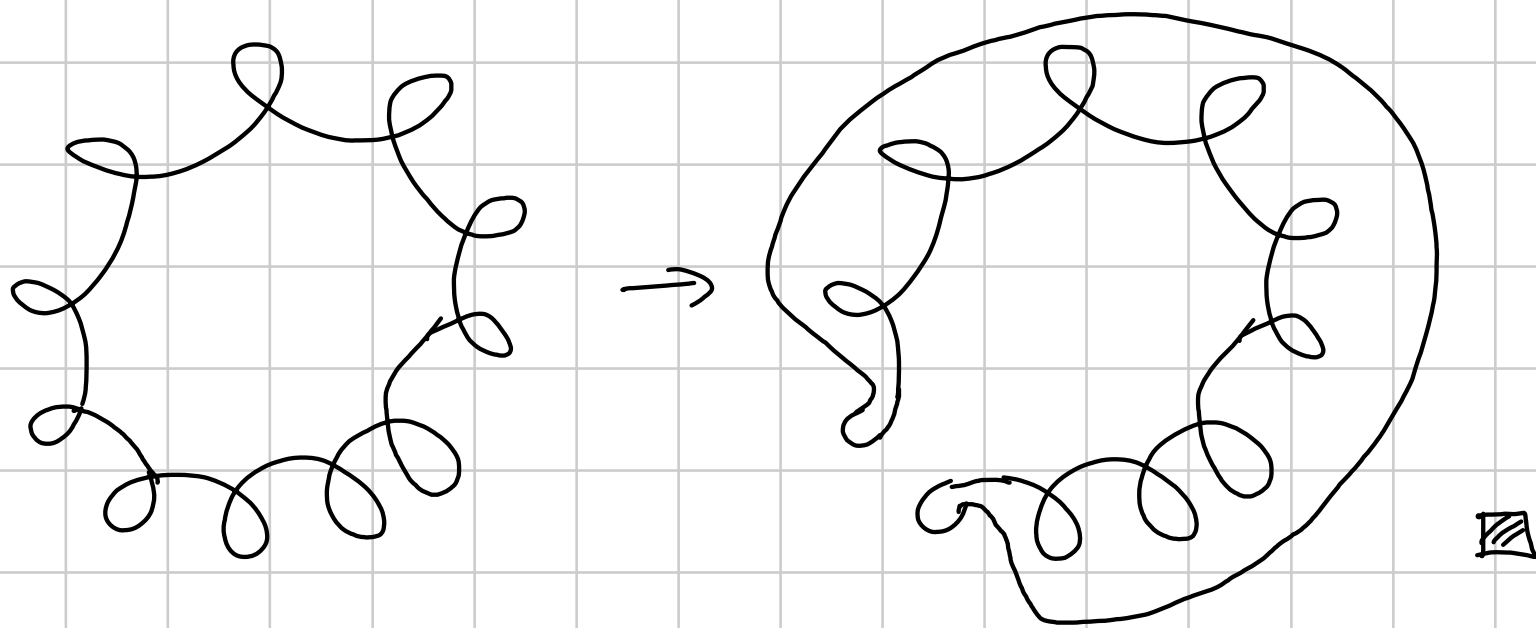
Conclusione: riango o con
nessun incocio:



un solo incrocio

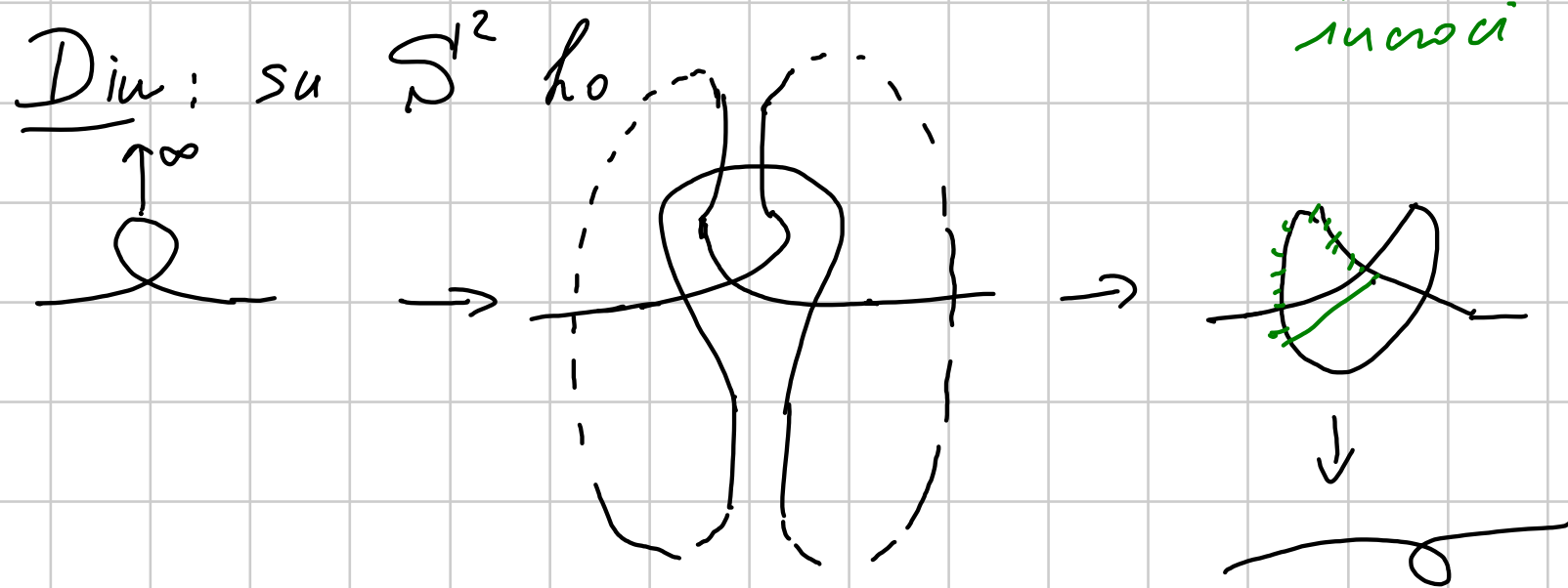


≥ 2 incroci e riccioli tutt'oltre s'ha parte; basta
vedere che si sono fuori posso metterci dentro:



Con: Immersion $S^1 \rightarrow S^2$ / $\longleftrightarrow \{0,1\}$

omotopie
rep.



I modelli di prima epinascono tali e $0 \neq 1$

Maoltre partita $\#$ incisi è invariante $\Rightarrow 0 \neq 1$



Teo (Jordan-Schöuffles): se $\alpha: S^1 \rightarrow \mathbb{R}^2$

è omoto sull'immagine allora $\mathbb{R}^2 \setminus \alpha(S^1)$

è $D \sqcup E$ con $\partial D = \partial E = \alpha(S^1)$ e

$D \cong D^2$, $E \cong D^2 \setminus \{0\}$.

Attenzione: è vero TOP (ma diventa falso per $S^1 \rightarrow \mathbb{R}^3$).

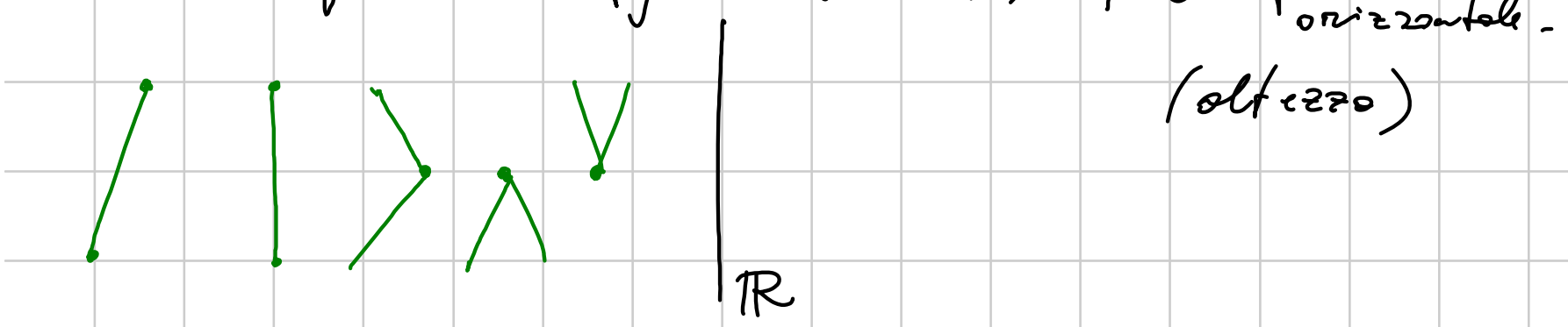
Faccio una dimo PL e una DIFF -

PL: Provo che se $T^* \mathbb{R}^2$ è una polipolare $\cong S^1$
allora T bounda un disco chiuso in \mathbb{R}^2

Prendo v che non sia la direzione di alcun
lato di T e definisco $h: T \rightarrow \mathbb{R}$

come π_{v^\perp} . In figura $v = (1, 0)$; h = proiez
orizzontale.

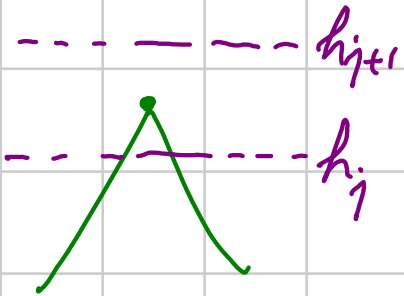
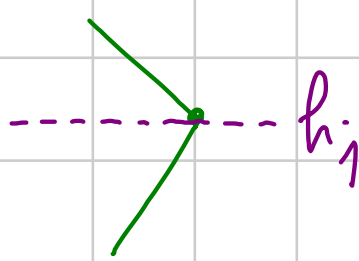
(oltre 220)



A meno di cambiare leggermente ν posso

supporre h iniettiva su $I^{[0]}$ — Prendo

altezza $-\infty < h_0 < h_1 < \dots < h_N < +\infty$ così:



Fatto (esercizio): $\#h^{-1}(h_j) \equiv 1 \pmod{2}$ —

Definisco I'_j come $h^{-1}((-∞, h_j)) \cup$
segmenti orizzontali ad altezza j tra il primo

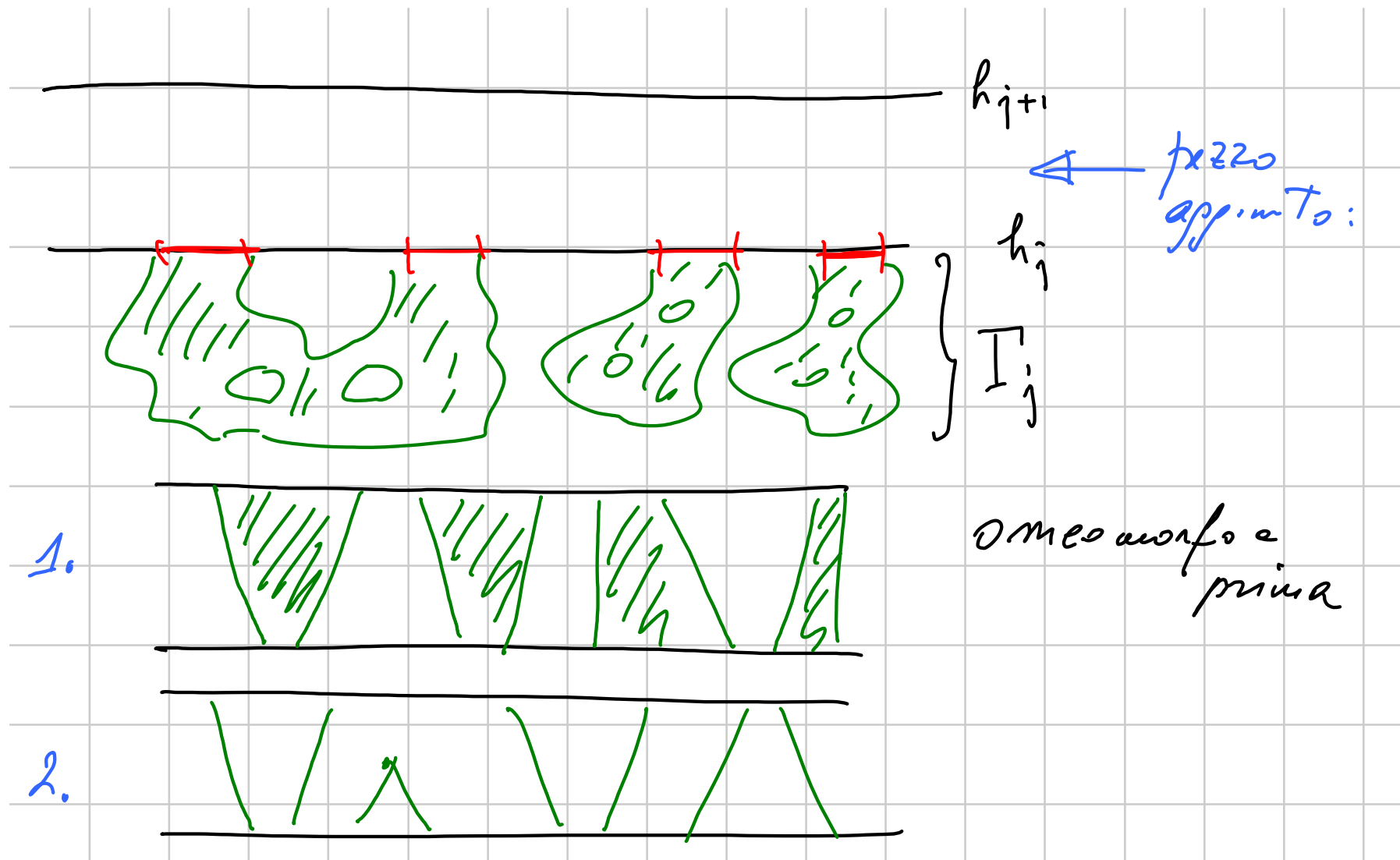
e il secondo punto, tra il terzo e il quarto, ...



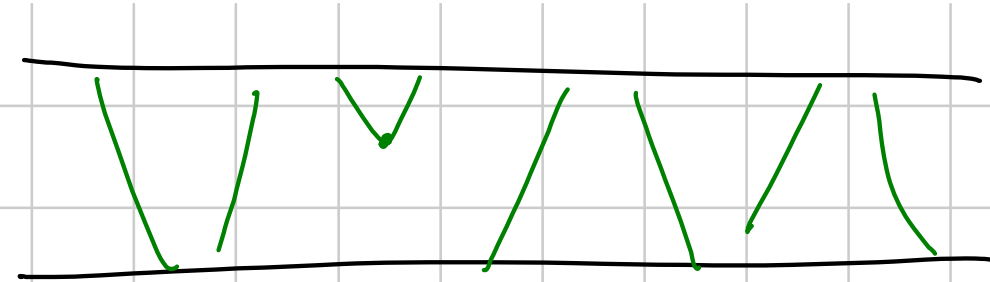
Proviamo per ricorrenza che T_{ij} è bordo di una
unione finita di dischi bucati chiusi -

Cioè basta: $T_N = T$ bordo una unione finita
di dischi chiusi ma T è connesso
 \Rightarrow bordo un disco chiuso -

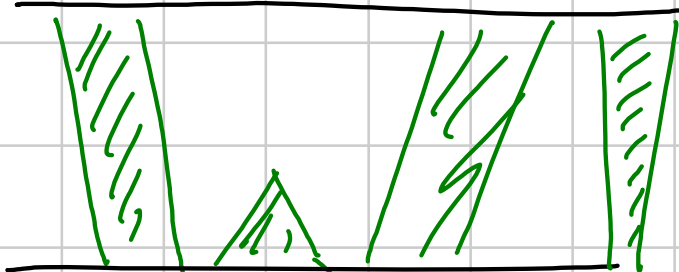
T_j bordo \bigcup dischi bucati \Rightarrow anche T_{j+1} -



3.



2a



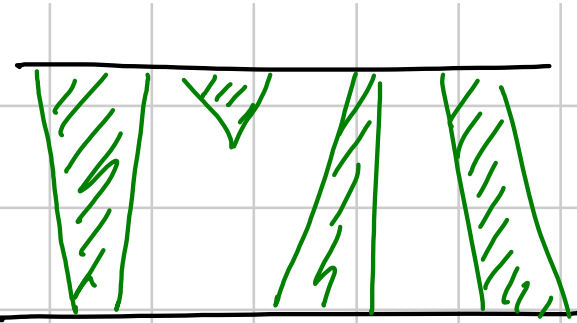
orme a prima

2b



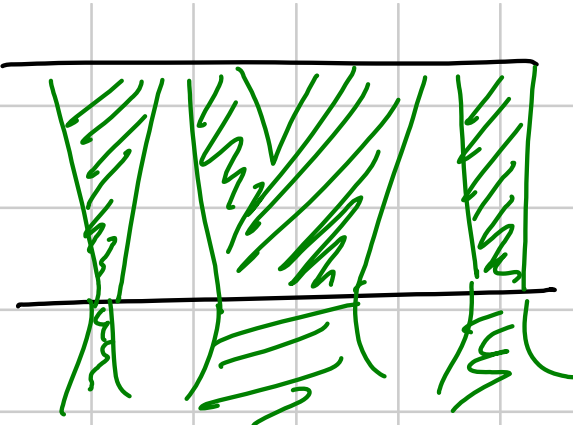
se $D_1 \neq D_2$ trovo un disco
bucato in meno
se $D_1 = D_2$ trovo un disco con
un buco in più

3a.



un disco (non buco) in più

3b



non cambia nulla

DIFF

Oss: Nel caso 2b. II in realtà non si dà mai

l'idea delle due DIFF:

$\alpha: S^1 \hookrightarrow \mathbb{R}^2$ curva semplice e liscia

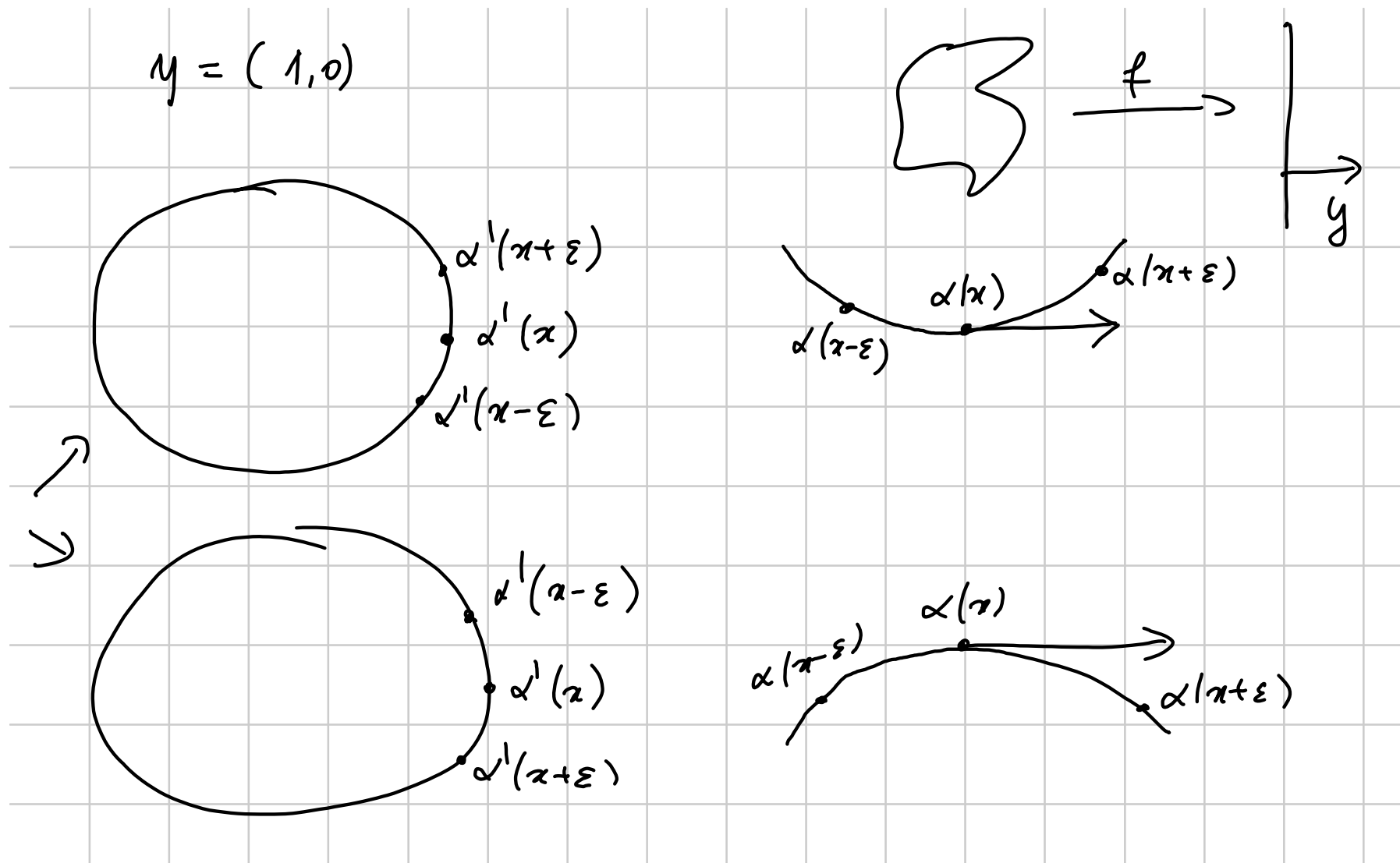
Consideriamo y valore regolare di $\frac{\alpha'}{\|\alpha'\|}: S^1 \rightarrow \mathbb{R}$

$$f := \pi_{y^\perp} \circ \alpha_-$$

Se h è un valore critico di f ho

$$h = f(x) \text{ con } \alpha'(x) \in \mathbb{R} \text{ y } -$$

Perciò y è regolare per α' (wlog $\|\alpha'\|=1$)
dunque ho due casi



\Rightarrow i valori critici di f sono tutti immagazzinati

Li massimi o minimi -

Cambiando y di poco posso anche supporre
che tutti tali max e min siano ad altezze
diverse;

